



تغییرهای بیوشیمیایی در برگ‌های گل محمدی (*Rosa × damascena*) در پاسخ به شکل‌های مختلف

سیلیکون در شرایط تنش شوری

مصطفی خوشحال سرمست^{*}، مینا خرمی مقدم، سارا خراسانی نژاد، عظیم قاسم نژاد

گروه علوم باغبانی و فضای سبز، دانشگاه علوم کشاورزی و منابع طبیعی گرگان، گرگان

✉ mkhsarmast@gau.ac.ir

تاریخ دریافت: ۱۴۰۲/۴/۴، تاریخ بازنگری: ۱۴۰۲/۶/۷، تاریخ پذیرش: ۱۴۰۲/۶/۷

چکیده

ارایه راهکارهای موثر در کنترل تنش شوری در گیاهان زینتی با توجه به افزایش تغییرهای غیر قابل پیش‌بینی آب و هوا در نقاط مختلف زمین و افزایش شوری خاک‌ها بسیار مهم می‌باشد. در همین راستا، در این پژوهش اثر شوری (ترکیب کلرید سدیم و کلرید کلسیم در غلظت‌های ۱۰۰، ۲۰۰ و ۵۰۰ میلی‌مولار) به ترتیب ۹/۱، ۱۸/۲ و ۴۵/۵ دسی زیمنس با نسبت یک به یک و سیلیکون (۲۵۰ میلی‌گرم در لیتر) و نانوسیلیکون (حاوی ۲۵۰ میلی‌گرم در لیتر سیلیکات پتاسیم) با اندازه متوسط ذره‌های اولیه ۱۲ نانومتر و مساحت سطح متناظر ۲۰۰ متر مربع بر گرم و برهمکنش آن‌ها بر گل محمدی (*Rosa × damascena*) در شرایط کنترل شده گلخانه شیشه‌ای در قالب طرح کاملاً تصادفی انجام شد. برخی از پاسخ‌های فیزیولوژیک برگ مانند میزان نشت یونی، محتوای نسبی آب برگ، میزان پرولین و فعالیت آنزیم‌های آنتی‌اکسیدانی مانند کاتالاز (CAT)، پراکسیداز (POX) و آسکوربات پراکسیداز (APX) پس از کاربرد تنش مورد بررسی قرار گرفتند. نتایج بررسی‌های انجام شده نشان داد که نانوسیلیکون و سیلیکات پتاسیم از نشت یونی ایجاد شده توسط شوری در مقایسه با شاهد پیش‌گیری کردند. از سویی، محتوای نسبی آب برگ در پاسخ به سیلیکون و نانوسیلیکون تا حد زیادی حفظ شد و در تنش شوری ۱۰۰ میلی‌مولار محلول‌پاشی با سیلیکون ۴۳٪ و نانو سیلیکون منجر به افزایش پرولین در برگ گردید ولی این اثر افزایشی در شرایط تنش شوری ۵۰۰ میلی‌مولار بسیار ملموس‌تر بود و نسبت به شاهد ۳ برابر افزایش یافت که خود بیانگر ارتباط نزدیک میان تنش شوری و سیلیکون است. در مجموع به نظر می‌رسد که در گل محمدی مقاومت به تنش شوری توسط سازوکارهای غیر آنزیمی کنترل می‌شود. زیرا کاربرد سیلیکون و نانوسیلیکون تحت شرایط شوری، اثر هم‌افزایی در بالا بردن میزان فعالیت آنزیم‌های آنتی‌اکسیدانی کاتالاز، پراکسیداز و آسکوربات پراکسیداز داشت.

واژه‌های کلیدی: آنزیم‌های آنتی‌اکسیدانی، سیلیکون، شوری، نانو سیلیکون.

مقدمه

ورد یا گل سرخ در ایران بیشتر به نام انگلیسی آن (یعنی گل رز) معروف است و به تیره رزاسه و جنس *Rosa* تعلق دارد (Gudin, 2000). گزارش‌های زیادی به ۱۰۷ جنس و ۳۱۰۰ گونه از رز اشاره نموده‌اند. در جنس رز بیش از ۲۰۰۰۰ رقم گزارش شده است که در نتیجه دورگ‌گیری و انتخاب گونه‌های جدید حاصل شده‌اند. در قرن ۱۹ چندین هزار گونه رز نام‌گذاری شد و بسیاری از گونه‌های قدیمی را برای ایجاد گونه‌های جدید با یکدیگر تلاقی داده‌اند. تعداد کل گونه‌های رز، مورد توافق تمام گیاه‌شناسان نیست ولی آنها با حدود ۱۵۰ گونه واقعی از رزها موافق هستند (Kiani et al., 2010). در میان گیاهان گلدار زینتی، گل محمدی (*Rosa × damascena*) به دلیل گل‌های زیبا و عطراگین بسیار مورد توجه قرار گرفته است (Press, 2018). در دنیای گیاهان، گل محمدی به‌عنوان یکی از محبوب‌ترین گل‌ها شناخته می‌شود (Datta, 2021). همچنین گل محمدی به طور وسیع در فضای سبز و به عنوان گیاه دارویی در سراسر جهان مورد استفاده قرار می‌گیرد (Hong et al., 2021). پرورش گل محمدی نه تنها برای لذت بردن از زیبایی آن می‌باشد بلکه از اسانس‌های گل رز به‌خصوص گل محمدی در صنایع ادکلن‌سازی، آرایشی و حتی رایحه‌درمانی استفاده می‌شود (Nadpal et al., 2016). امروزه افزایش تقاضا و تولید گیاهان با کاهش سطح زمین‌های قابل کشت به دلیل محدودیت منابع آب و خاک‌های شور افزایش یافته‌است (Savari & Shokati Amghani, 2021). از سوی دیگر بسیاری از محصولات تحت‌تأثیر تنش‌های محیطی مختلفی قرار دارند که می‌تواند از جمله عوامل اصلی کاهش تولید و موانع اصلی در دستیابی به عملکرد مناسب محصولات مختلف باشد (Kerchev et al., 2020). شوری یکی از تنش‌های غیرزنده غالب است که بر تولید محصولات کشاورزی تأثیر می‌گذارد. اثرات شوری به حداقل ۲۰٪ از محصولات زراعی در سراسر جهان آسیب رسانده است. خاک‌های شور که به‌طور کلی حاوی نسبت زیادی از سدیم به کلسیم، سدیم به پتاسیم، پتاسیم به کلسیم و نسبت کلر به نیترات هستند، به دلیل سمیت و عدم تعادل یونی موثر بر اجزای بیوفیزیکی یا متابولیکی گیاه منجر به کاهش رشد گیاه، ایجاد گل‌های زرد و قهوه‌ای می‌شود و بنابراین از ارزش زینتی گیاهان می‌کاهد (Matraszek et al., 2015). همچنین انباشت بیش از حد Na^+ و Cl^- در یاخته‌ها گیاهی می‌تواند با مهار آنزیم‌ها و ایجاد عدم تعادل غذایی بر رشد و نمو گیاهان تأثیر منفی بگذارد (Isayenkov et al., 2019). کاهش محتوای نسبی آب تحت تنش می‌تواند در نتیجه کاهش دسترسی به آب در اثر افزایش پتانسیل اسمزی ناشی از وجود نمک باشد (Zou et al., 2018). از طرفی در تنش شوری انباشت گونه‌های فعال اکسیژن (ROS) افزایش می‌یابد که منجر به القای تنش اکسیداتیو می‌شود. گونه‌های فعال اکسیژن منجر به پراکسیداسیون لیپیدهای غشا و تغییر در نفوذپذیری غشا (نشت یونی) و خسارت به یاخته می‌گردند که در نتیجه باعث افزایش نشت یونی به بیرون از یاخته می‌شود (Lv et al., 2019).

امروزه استفاده از نانوذرات به دلیل بالا بودن سطح به حجم مورد توجه بسیاری از محققان کشاورزی نیز قرار گرفته است. سیلیسیم ماده مغذی مفیدی است که روند رشد و نمو گیاه را کنترل می‌کند و تحمل محصول را در برابر تنش‌های غیرزیستی بهبود می‌بخشد (Barakatain et al., 2013). همچنین محلول‌پاشی سیلیسیم دارای اثرات تحریک زیستی می‌باشد (Artyszak, 2018). به نظر می‌رسد سیلیسیم مقاومت غشای یاخته را در برابر اکسیداسیون افزایش داده و به تنظیم‌اسمزی یاخته گیاه کمک



می‌کند (Epstein et al. 2005). فرآیندهای اصلی که تحت تأثیر استفاده از سیلیسیم قرار می‌گیرند شامل فتوسنتز (Sharifi et al., 2016)، فعال‌سازی سیستم‌های دفاع آنتی‌اکسیدانی از جمله کاتالاز (CAT)^۱، سوپراکسید دیسموتاز (SOD)^۲ و آسکوربات پراکسیداز (APX)^۳ (Ghaffari et al., 2019) و انباشت اسمولیت‌ها مانند پرولین (Pérez-Llano et al., 2020) است. مشخص شده است که استفاده از سیلیسیم منجر به حفظ نسبت سیتوزولی Na^+/K^+ از طریق ناقل‌ها و کانال‌های Na^+ و Cl^- (Assaha et al., 2017) می‌شود، بدین طریق سطوح ROS یاخته‌ای توسط جاذب‌های آنزیمی (مانند آنزیم‌های مهارکننده ROS) تنظیم می‌شوند تا آسیب ROS ناشی از تنش شوری را کاهش دهند (Del Río & López-Huertas, 2016). مشخص شده است که در گیاه *Rosa chinensis* فعالیت دو آنزیم گلوکاتایون‌ردوکتاز و سوپراکسید دیسموتاز با افزایش سطح تنش شوری افزایش می‌یابد تا آسیب ناشی از تنش کاهش یابد (Joseph et al., 2015). شوری آب و خاک از جمله عوامل تنش‌زای محیطی هستند که به علت افزایش روزافزون در سراسر جهان مورد توجه زیادی قرار گرفته‌اند. حدود ۲۷ میلیون هکتار از خاک‌های ایران جزء خاک‌های شور و سدیمی محسوب می‌شوند. از راهکارهای کاهش اثرهای زیان‌بار تنش شوری استفاده از روش‌های صحیح مدیریت تنش است که نقش قابل ملاحظه‌ای در افزایش عملکرد دارند. در همین ارتباط، نقش برخی عناصر نظیر سیلیکون و نانوسیلیکون مورد توجه برخی متخصصین تغذیه گیاهی قرار گرفته است و استفاده از روش‌های تغذیه معدنی به عنوان یک راهبرد برای کاهش اثرات مضر تنش گزارش شده است. بنابراین هدف پژوهش حاضر استفاده از سیلیکون و نانو سیلیکون در تعدیل سطوح مختلف تنش شوری در گل محمدی می‌باشد.

مواد و روش

مواد گیاهی

در این پژوهش قلمه‌های ریشه‌دار شده گل محمدی از گلخانه دهکده رز استان خراسان شمالی شهرستان بجنورد تهیه شدند. ارتفاع بوته از سطح خاک ۱۰ سانتی‌متر تخمین زده شد. گیاهان در گلدان‌هایی با قطر دهانه ۱۸ سانتی‌متر کاشته شدند و گلدان‌ها به مدت شش ماه در شرایط کنترل شده نگه داشته شدند.

کاربرد تنش و شرایط نگاه‌داری

در آذرماه سال ۱۳۹۹ در گلخانه دانشگاه علوم کشاورزی و منابع طبیعی گرگان آزمایشی بر پایه طرح کاملاً تصادفی در سه تکرار و عوامل آزمایشی شامل شوری (ترکیب سدیم کلرید و کلسیم کلرید ۱۰۰، ۲۰۰ و ۵۰۰ میلی‌مولار) به ترتیب ۹/۱، ۱۸/۲ و ۴۵/۵ دسی زیمنس با نسب یک به یک و سیلیکون (۲۵۰ میلی‌گرم در لیتر) و نانوسیلیکون (حاوی ۲۵۰ میلی‌گرم در لیتر سیلیکات پتاسیم) (Khoshpeyk et al. 2023) و برهمکنش آن‌ها انجام شد. در طول دوره تنش، رطوبت نسبی گلخانه ۴۵٪ و دمای گلخانه ۳۲ درجه سلسیوس ثبت شد. پیش از شروع آزمایش شوری، سیلیکون و نانوسیلیکون به صورت محلول‌پاشی دو بار با فاصله یک هفته از هم استفاده شدند. محلول‌پاشی به صورتی بود که در هر بار پاشش، تمام برگ‌ها خیس شدند. یک هفته پس از اولین



محلول‌پاشی، آب‌های شور با غلظت‌های مختلف نمک برای به‌دست آوردن مقادیر مطلوب EC تهیه شد و هر دو روز ۲۰۰ سی‌سی آب شور به پای گیاهان ریخته شد. همچنین یک تیمار شاهد بدون محلول‌پاشی برگ‌گی در نظر گرفته شد سپس پس از دو هفته نمونه‌های برداشت شده از برگ بلافاصله در ازت مایع فریز و سپس به فریزر ۸۰- درجه سلسیوس منتقل و تا زمان انجام اندازه‌گیری در آن نگهداری شدند.

بررسی صفات مورفولوژیک

محتوای نسبی آب برگ (RWC)^۱

نمونه‌های برگ تازه (حدود ۰/۵ گرم برگ بالغ) به مدت ۲۴ ساعت در آب مقطر در دمای اتاق (حدود ۲۰ درجه سلسیوس) قرار گرفتند تا آب جذب نمایند. پس از پاک کردن آب روی برگ با دستمال، وزن آماس (TW)^۲ آن اندازه‌گیری شد. وزن خشک نمونه‌ها (DW)^۳ پس از قرارگیری نمونه‌ها در آون با دمای ۸۰ درجه سلسیوس به مدت ۲۴ ساعت محاسبه شد. در پایان محتوای نسبی آب برگ با استفاده از رابطه ۱ محاسبه شد (Pattanagul, 2011).

رابطه ۱:

$$RWC = \frac{(FW - DW)}{(TW - DW)} \times 100$$

نشت یونی

برای اندازه‌گیری هدایت الکتریکی در یاخته برگ، ۰/۵ گرم از نمونه‌های برگ‌گی به همراه ۱۰ میلی‌لیتر آب مقطر در لوله آزمایش ریخته شدند و به مدت ۲۴ ساعت روی شیکر گذاشته شده و هدایت الکتریکی محلول (EC₁) با استفاده از دستگاه EC سنج دیجیتال قرائت شد، سپس نمونه‌ها در دستگاه اتوکلاو با دمای ۱۲۱ درجه سلسیوس به مدت ۱۵ دقیقه قرار داده شد و هدایت الکتریکی محلول (EC₂) بافت‌های از بین رفته پس از خنک شدن در دمای اتاق به کمک دستگاه EC سنج دیجیتال محاسبه شد (Lutts et al. 1995). نشت یونی مطابق رابطه ۲ محاسبه شد:

رابطه ۲:

$$Electrolyte\ leakage = \frac{EC_1}{EC_2} * 100$$

بررسی صفات فیزیولوژیک

میزان پرولین

مقدار نیم‌گرم از برگ گل محمدی تحت تیمارهای مختلف به مدت ۴۸ ساعت در ۱۰ میلی‌لیتر محلول آبی سولفوسالسیلیک‌اسید ۳٪ قرار داده شد. محلول حاصل از کاغذ صافی عبور داده شد. ۲ میلی‌لیتر از این محلول با ۲ میلی‌لیتر معرف نین‌هیدرین مخلوط کرده و به هر لوله آزمایش ۲ میلی‌لیتر اسید استیک اضافه گردید. پس از این مرحله، نمونه‌ها در حمام بن ماری ۱۰۰ درجه قرار داده شدند و پس از خروج از حمام روی یخ به مدت ۵ دقیقه قرار گرفتند، سپس به هر لوله مقدار ۴ میلی‌لیتر تولوئن افزوده و به

Dry weight - ۳

Turgor weight - ۲

Relative Water Content - ۱



مدت ۲۰ ثانیه هم‌زده شد تا کاملاً یکنواخت شوند. فاز رویی جدا گردید و در دستگاه اسپکتروفتومتر در طول موج ۵۲۰ نانومتر برای تعیین مقدار پرولین قرار داده شد (Bates et al., 1973).

تهیه عصاره آنزیمی

برای این منظور ۰/۲ گرم برگ تازه توسط نیتروژن مایع در هاون ساییده شد و یک میلی‌لیتر بافر فسفات ۵۰ میلی‌مولار (pH=۷/۸) که حاوی EDTA ۰/۲ مولار و پلی‌وینیل‌پلی‌پیرولیدون (PVPP^۱) یک درصد بود، به آن اضافه شد و در ۵۰۰۰ دور در دقیقه به مدت ۲۰ دقیقه در دمای ۴ درجه سلسیوس سانتریفیوژ انجام شد. محلول شفاف رویی حاصل از سانتریفیوژ برداشته شد و برای اندازه‌گیری آنزیم‌های آنتی‌اکسیدانی شامل کاتالاز (CAT)، پراکسیداز (POX) و آسکوربات‌پراکسیداز (APX) مورد استفاده قرار گرفت (Chen et al., 2018).

کاتالاز (CAT)

یک میلی‌لیتر محلول واکنش کاتالاز حاوی ۵۰ میلی‌مولار بافر فسفات (pH=۷) و ۱۵ میلی‌مولار پراکسید هیدروژن به سرعت با ۵۰ میکرولیتر عصاره آنزیمی مخلوط شد. واکنش با شروع افزودن عصاره آنزیمی شروع و یک دقیقه جذب آن در طول موج ۲۴۰ نانومتر با استفاده از دستگاه اسپکتروفتومتر قرائت شد (Chu et al., 2016).

پراکسیداز (POX)

برای اندازه‌گیری میزان فعالیت این آنزیم ۳۳ میکرولیتر عصاره استخراج شده با یک میلی‌لیتر محلول از پراکسیداز که شامل، گوایکول ۲۸ میلی‌مولار، H₂O₂ ۵ میلی‌مولار و بافر فسفات ۵۰ میلی‌مولار (pH=۷) ترکیب شد و به مدت یک دقیقه با فاصله‌های ۱۰ ثانیه‌ای در طول موج ۴۷۰ نانومتر میزان جذب آنزیمی قرائت شد (Chu et al., 2016).

آسکوربات‌پراکسیداز (APX)

به منظور اندازه‌گیری آنزیم آسکوربات‌پراکسیداز، ۵۰ میکرولیتر عصاره استخراج با یک میلی‌لیتر محلول اندازه‌گیری آسکوربات‌پراکسیداز که شامل بافر فسفات ۵۰ میلی‌مولار (pH=۷) با ۰/۵ میلی‌مولار آسکوربیک اسید، ۰/۱ میلی‌مولار EDTA و ۰/۱۵ میلی‌مولار H₂O₂ ترکیب شد و میزان جذب آن با گذشت یک دقیقه در طول موج ۲۹۰ نانومتر با استفاده از دستگاه اسپکتروفتومتر قرائت شد (Nakano and Asada, 1981).

واکاوی آماری

این پژوهش در قالب طرح کاملاً تصادفی با دستکم ۳ تکرار در گلخانه اجرا و داده‌های حاصل با نرم‌افزار SAS واکاوی و مقایسه میانگین‌ها با آزمون دانکن در سطح احتمال ۵٪ صورت گرفت.

نتایج و بحث

نتایج اولیه به دست آمده از جدول تجزیه واریانس به روشنی بیانگر اثر معنی دار تنش شوری، سیلیکون و برهمکنش سیلیکون و شوری در بسیاری از صفات مورد بررسی بود.

جدول ۱. تجزیه واریانس اثر تیمار تنش شوری، سیلیکون و نانوسیلیکون و برهمکنش آنها بر برخی از خصوصیات فیزیولوژیک و بیوشیمیایی

Rosa × damascena

Table 1. The analysis of variance related to the effects of salinity, silicon, and nanosilicon, and their interactions on some physiological and biochemical characteristics of *Rosa × damascena*.

نشست یونی Ion leakage	محتوای نسبی آب Water relative content	پروترین برگ Leaf proline	آسکوربات پراکسیداز Ascorbate peroxidase	پراکسیداز Peroxidase	کاتالاز Catalase	درجه آزادی DF	میانگین مربعات VOS
۴۵/۷۶**	۹۷/۷۰*	۳۱/۴۱**	۶۳۸/۲۵**	۰/۰۰۰۲۲**	۰/۰۰۰۹۸**	۲	تنش شوری (salinity stress)
۹۶۲/۲۲*	۲۰/۹۱**	۵/۶۳**	۵۶۷/۲۷**	۰/۰۰۰۲۷*	۰/۰۰۰۲۱**	۱	سیلیکون (silicon)
۲۳/۶۱**	۳۷۶۲/۲۲ ^{ns}	۴۱/۹۶**	۳۱۷/۳۱**	۰/۰۰۰۲۰**	۰/۰۰۰۲۹*	۱	نانوسیلیکون (nanosilicon)
۸۳/۵۵ ^{ns}	۹/۳۷**	۶/۹۰**	۸۹۷/۱۷**	۰/۰۰۰۳۰**	۰/۰۰۰۳۱**	۲	شوری × سیلیکون (salinity × silicon)
۷۲/۷۶*	۱۱/۰۱ ^{ns}	۷/۰۴**	۶۱۵/۵۴*	۰/۰۰۰۰۳۷**	۰/۰۰۰۱۵ ^{ns}	۲	شوری × نانوسیلیکون (salinity × nanosilicon)
۱۱/۸۸	۰۱/۸۸	۰/۴۶	۰/۰۰۵۱	۰/۰۰۰۰۲۲	۰/۰۰۰۰۳۳	۳۲	خطا Error
۵/۱۹۰۱	۳/۱۹	۰/۹۸	۹/۷۷	۲/۰۰	۰/۰۸		ضریب تغییرات (CV)

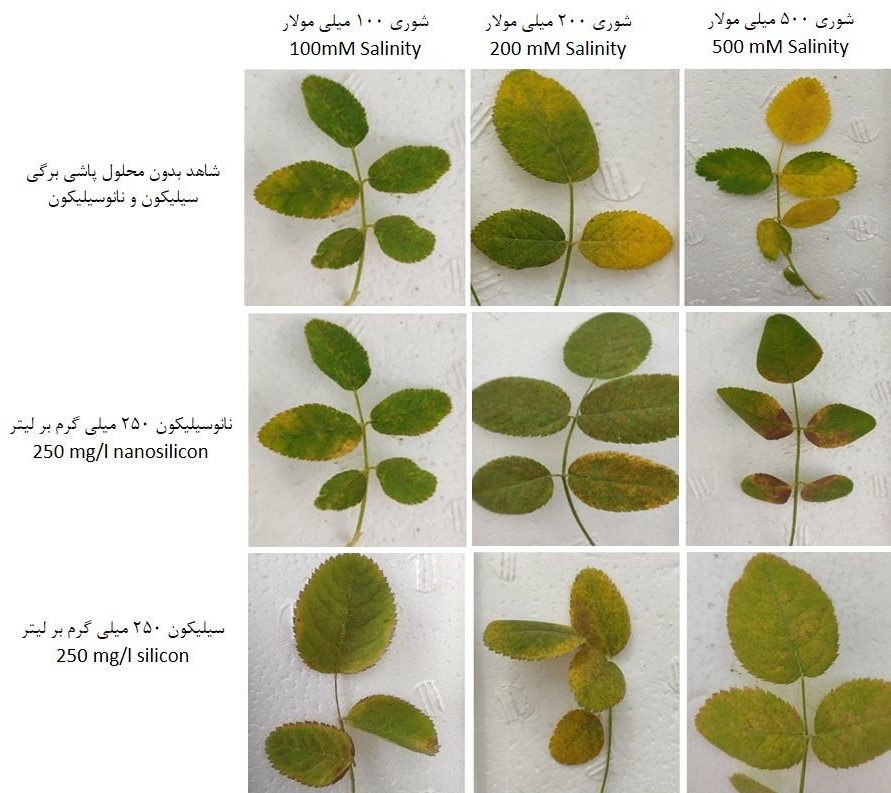
** بیان کننده اختلاف معنی دار در سطح ۱٪، * بیان کننده اختلاف معنی دار در سطح ۵٪، و ^{ns} بیان کننده نبود اختلاف معنی دار است.

** , *, ^{ns} indicates a significant difference at the 1% and 5% and no significant difference.

شکل ۱ تفاوت ظاهری در برگچه های گل محمدی را که تحت تیمارهای مختلف سیلیکون و نانوسیلیکون در شرایط تنش شوری قرار گرفته اند را نشان می دهد. نتایج نشان داد که بین تیمارهای تنش شوری و نانوسیلیکون در سطح احتمال ۱٪ و برهمکنش شوری در نانوسیلیکون در سطح احتمال ۱٪ اختلاف معنی داری وجود داشت، ولی بین اثرات متقابل شوری در سیلیکون اختلاف معنی داری مشاهده نشد (جدول ۱). غشای یاخته از نخستین اندامهایی است که تحت شرایط تنش، آسیب می بیند و تراوایی آن افزایش یافته و نشت الکترولیتی از یاخته باعث مرگ آن می گردد. پایداری غشای یاخته به عنوان معیاری از تحمل به تنش در نظر گرفته می شود و طبق نتایج مقایسه میانگین میزان نشت یونی بدون توجه به تیمار سیلیکون و نانوسیلیکون با افزایش میزان شوری خاک در برگها افزایش می یابد (شکل ۲). نتایج بیانگر این است که سیلیکون و نانوسیلیکون میزان نشت یونی برگ در گیاهانی که تحت تیمار شوری هستند را کاهش و به سطح شاهد می رساند (شکل ۲). این اثر در تیمار تنش شوری ۵۰۰ میلی مولار و



محلول پاشی نانوسیلیکون مشهود است (شکل ۲). این نتایج به نقش نانوسیلیکون در کاهش نشت یونی طی تنش و حفظ و پایداری غشاء اشاره دارد. در این تحقیق میزان نشت یونی برگ در پاسخ به شوری افزایش و محتوای نسبی آب برگ به شدت در تنش‌های شوری بالا کاهش نشان داد.



شکل ۱- گل محمدی محلول پاشی شده با سیلیکون و نانوسیلیکون در شرایط تیمار تنش شوری.

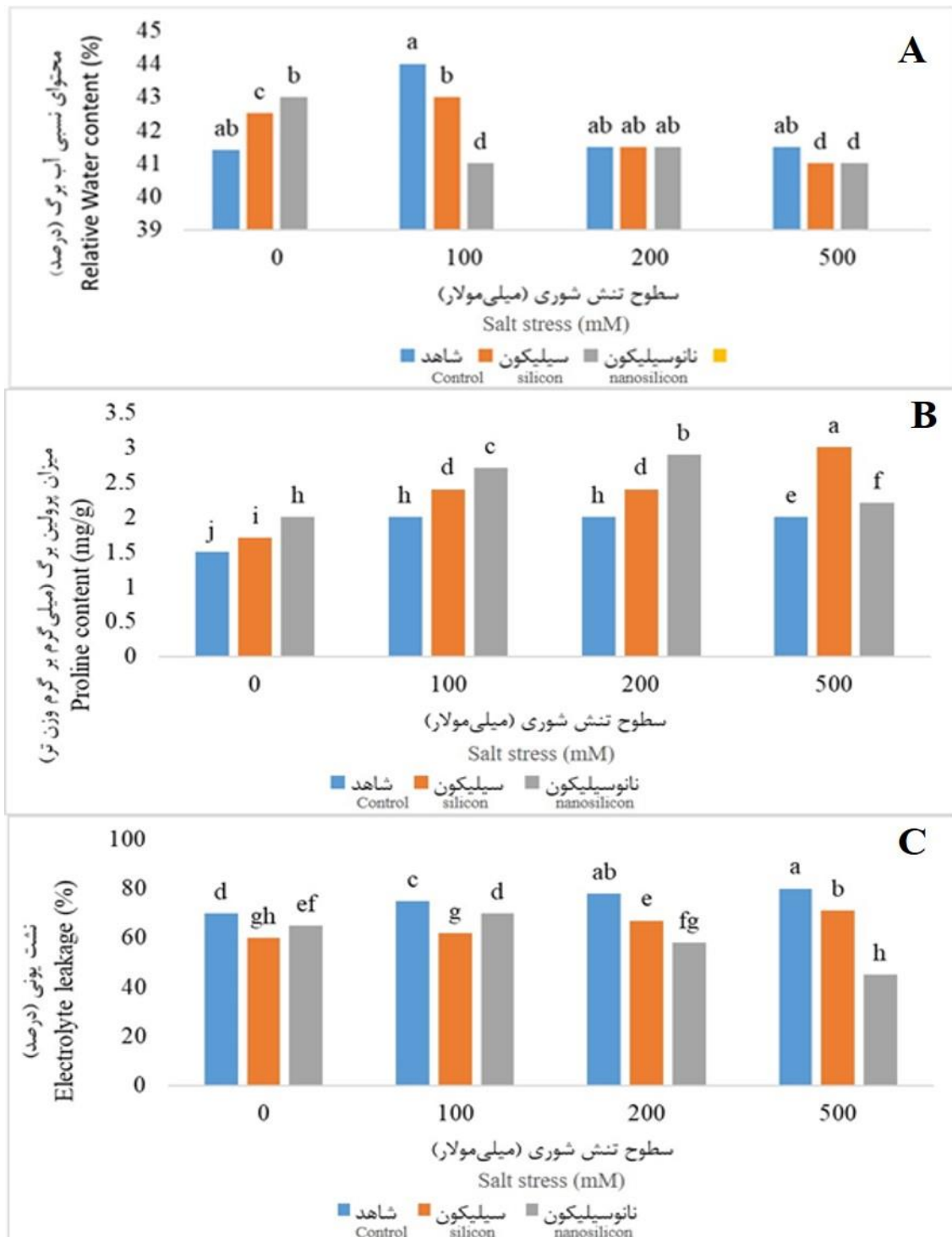
Figure 1. Foliar application of *Rosa × damascena* plants with silicon and nanosilicon subjected to salinity treatment.

نتایج نشان داد که میزان محتوای نسبی آب برگ به ترتیب در تیمارهای سیلیکون، برهمکنش شوری در سیلیکون و تیمار شوری به طور معنی داری در سطح احتمال ۱ و ۵٪ قرار گرفت (جدول ۱) و برهمکنش شوری در نانوسیلیکون اثر معنی داری بر محتوای نسبی آب برگ نداشت. با افزایش تدریجی تنش شوری به تدریج و به شکل معنی داری محتوای آب برگ کاهش یافت (شکل ۲A). سیلیکون و نانوسیلیکون ۲۵۰ میلی گرم در لیتر در شرایط بدون تنش تا حدودی بر محتوای آب یاخته‌ای برگ افزوده‌اند. این در حالی است که در شدت‌های بالای تنش شوری (۵۰۰ میلی مولار) محتوای نسبی آب برگ حتی در پاسخ به سیلیکون و نانوسیلیکون تا حدی افزایش یافت (شکل ۲C). کاهش محتوای نسبی آب برگ به دلیل عدم توانایی ریشه این گیاه برای مقابله با فشار اسمزی به وجود آمده در محلول خاک در اثر شوری می‌باشد. اثر شوری در توقف رشد، طویل شدن گیاه، کاهش تقسیم

یاخته ای و مرگ گیاه، پیشتر گزارش شده است (Munns, 2002). کاهش محتوای نسبی آب برگ در گیاهان تحت تنش، ممکن است با کاهش تورژسانس برگ گیاه همراه باشد و در بسیاری از گونه‌های گیاهی نیز این پاسخ مشاهده شده است. کاهش محتوای نسبی آب برگ در اثر تنش خشکی در ریحان، کدو و پنبه نیز گزارش شده است (El-Esawi *et al.*, 2019). اثر تخریب‌کنندگی شوری در رشد گل رز چینی و رز هیبرید نیز پیشتر گزارش شده است (Li *et al.*, 2019, Oki and Lieth, 2004). این اثر تخریب‌کنندگی در گل رز چینی در غلظت‌های کمتر از ۵۰ میلی مولار نیز خود را نشان می‌دهد (Reis *et al.* 2016). نتایج بررسی‌های پژوهشگران نشان می‌دهد که استفاده از ترکیبات دارای سیلیکون به کمک اتصال به سدیم، انتقال سدیم به اندام‌های هوایی را محدود می‌سازد (Liang *et al.* 2007). گفته شده است که افزایش پتاسیم و کاهش سدیم جذب شده به محض کاربرد سیلیکون یکی از سازوکارهای اصلی در تعدیل تنش شوری است (Al-Aghabary *et al.*, 2005). نتایج حاصل از این پژوهش در خصوص افزایش محتوای نسبی آب برگ با کاربرد سیلیکون و نانوسیلیکون با نتایج Almutairi (2016) که همین اثر را بر روی گوجه‌فرنگی مشاهده نمودند، همسویی نشان داد.

پرویلین اسید آمینه منحصر به فردی است که درون کلروپلاست تولید می‌شود و در سیتوسول تجمع می‌یابد و اغلب به عنوان یک شاخص مقاومت به تنش خشکی در نظر گرفته می‌شود. طبق نتایج به نظر می‌رسد که در شرایط غیرشور، سیلیکون و نانوسیلیکون تا حد کمی بر میزان پرویلین برگ افزوده‌اند، اما زمانی که گیاه با تنش شوری ۱۰۰ و ۲۰۰ میلی‌مولار مواجه شد، بر شدت میزان پرویلین تولیدی افزوده شد و یک اثر هم‌افزایی میان شوری و سیلیکون و نانوسیلیکون در تولید پرویلین مشاهده گردید (شکل ۲B). به هر حال در تنش شوری ۵۰۰ میلی‌مولار به شکل جالبی میزان پرویلین تولیدی در پاسخ به نانوسیلیکون نسبت به سیلیکون کاهش شد. افزایش میزان پرویلین برگ در پاسخ به نانوسیلیکون در شرایط تنش شوری (۱۰۰ و ۲۰۰ میلی مولار در آزمایش حاضر) با گزارش‌های پیشین همسو بود (Kalteh, 2014). افزایش بیشتر میزان پرویلین برگ در پاسخ به نانوسیلیکون به احتمال مربوط به بالا بودن سطح به حجم ذرات نانو و افزایش قدرت واکنش‌پذیری آن در مقایسه با سیلیکات پتاسیم است (Jiang *et al.* 2004). انباشت پرویلین در شرایط تنش ممکن است به دلیل افزایش فعالیت آنزیم‌های درگیر در سنتز پرویلین از قبیل اورنیتین‌آمینوترانسفراز (Ornithine aminotransferase) و پرویلین ردوکتاز و جلوگیری از فعالیت آنزیم پرویلین کاتابولاز (Catabolism) باشد (Manaa *et al.* 2014). انباشت پرویلین باعث می‌شود گیاه طی دوره کوتاهی بعد از تنش، زنده مانده و پس از رفع تنش، رشد خود را بازیابد، بنابراین این موضوع اثر مثبتی بر عملکرد خواهد داشت و سیلیکون با تنظیم افزایش بیان ژن‌های مرتبط با پروتئین‌های بازدارنده پرویلین، سبب افزایش میزان این اسید آمینه در گیاهان می‌شود (Ramajulu, 2001). اگرچه نتایج اصلی ما بیانگر این بود که بدون توجه به تنش شوری، سیلیکون منجر به افزایش پرویلین در برگ می‌گردد، ولی این اثر افزایش در شرایط تنش شوری بسیار ملموس‌تر بود که خود بیانگر اثر سیلیکون در افزایش پرویلین تحت تنش شوری ۵۰۰ میلی‌مولار و تحمل در برابر تنش است.





شکل ۲- تغییرهای میزان نشت یونی (C)، محتوای نسبی آب برگ (A) و میزان پرولین برگ (B) در گیاهان تحت تیمار شوری، سیلیکون و نانوسیلیکون. حروف مشترک در هر ستون اختلاف معنی داری در سطح ۵٪ با استفاده از آزمون دانکن ندارند.

Figure 4. Changes in ion leakage rate, relative water content and leaf proline content in plants treated with salinity, silicon and nanosilicon. In each column, mean with the same letters are not significantly different with Duncan's test (at 5% probability level) .

طبق جدول تجزیه واریانس میزان آنزیم آسکوربات پراکسیداز در تیمار برهمکنش تنش شوری × سیلیکون، آنزیم کاتالاز در تیمار برهمکنش شوری × سیلیکون و آنزیم پراکسیداز در تیمار برهمکنش شوری × سیلیکون و شوری × نانوسیلیکون در سطح احتمال ۱٪ اختلاف معنی داری نشان دادند (جدول ۱). نتایج مقایسه میانگین حاکی از افزایش فعالیت آنزیم‌های آنتی‌اکسیدانی در پاسخ به تنش شوری در گیاهان بود (جدول ۲). به طور جالبی در گیاهانی که فقط با سیلیکون و نانوسیلیکون تیمار شده بودند یک افزایش جزئی در فعالیت آنتی‌اکسیدانی مشاهده شد. نتایج بیانگر این است که افزایش فعالیت آنزیمی در تنش شوری ۱۰۰ میلی‌مولار تنها در مقایسه با همین مقدار شوری به‌علاوه محلول‌پاشی سیلیکون و نانوسیلیکون افزایش نشان می‌دهد. این مشاهده در خصوص سطوح دیگر شوری نیز صادق است. این نتیجه نقش هم‌افزایی سیلیکون و نانوسیلیکون با تنش شوری بر روی فعالیت آنزیمی را نشان می‌دهد. در تنش ۵۰۰ میلی‌مولار میزان نشت یونی افزایش یافت که طبق بررسی‌های Beltrano و همکاران (2008) دلیل این افزایش مربوط به رونویسی از ژن‌های دخیل در بیوستز آنزیم‌های مرتبط با پراکسیداسیون لیپید و نیز تولید انواع اکسیژن فعال است که در نتیجه آن پایداری غشا کاهش یافته و باعث افزایش نشت یونی می‌شود. کاهش خسارت غشاء در اثر کاربرد نانوسیلیکون که به‌عنوان راه اصلی برای افزایش مقاومت به تنش شوری در گیاه شناخته شده است، بر اساس پژوهش Saleem و همکاران (۲۰۰۲) ممکن است با تولید ترکیبات آنتی‌اکسیدان در ارتباط باشد که می‌تواند منجر به افزایش پایداری غشاء در برابر تنش‌های اکسیداتیو گردد.

گیاهان سازوکارهای آنزیمی و غیرآنزیمی زیادی برای مقابله با تنش دارند. سازوکار آنزیمی شامل افزایش فعالیت آنزیم‌های سوپراکسید دیسموتاز، کاتالاز، پراکسیداز است که منجر به ایجاد تعادل در گونه‌های اکسیژن آزاد می‌گردد (Liu et al., 2022). ترکیبات آنتی‌اکسیدانی غیر آنزیمی همچون گلوکاتایون، آسکوربیک‌اسید، آلفا توکوفرول، زانتین و غیره در تعدیل تنش اسمزی نیز موثر هستند (Salin, 1991). گزارش شده است که در شرایط تنش شوری فعالیت آنزیم سوپراکسید دیسموتاز با کاربرد ترکیبات سیلیکونی کاهش می‌یابد (Asgari & Diyanat, 2020) که در تضاد آشکار با نتایج ماست. این پژوهشگران تنها دو آنزیم سوپراکسید دیسموتاز و گلوکاتایون ردوکتاز را در شرایط تنش شوری و محلول‌پاشی سیلیکون و نانوسیلیکون در گل رز چینی مورد مطالعه قرار داده‌اند. از طرفی گل رز چینی نسبت به گل محمدی به شوری حساس‌تر است همچنین آنها آنزیم‌هایی که در مطالعه ما بررسی شد را ارزیابی نکرده‌اند. ولی افزایش فعالیت آنزیم‌های مشاهده شده در این تحقیق تا حدی می‌تواند به سطوح تنش شوری، غلظت سیلیکون و نانوسیلیکون به کار رفته و به خصوص نوع گیاه مربوط باشد. در بررسی دیگر، کاربرد نانوسیلیکون بر تحمل به شوری گندم نشان داد که نانوسیلیکون در شرایط تنش شوری میزان فعالیت آنزیم‌های آسکوربات پراکسیداز و کاتالاز را افزایش می‌دهد که هم راستا با نتایج حاضر در گل محمدی است (Hajhashemi & Kazemi 2022). متأسفانه داده‌های کافی در خصوص فعالیت آنزیم‌های آنتی‌اکسیدانی در شرایط تنش شوری و در پاسخ به نانوسیلیکون در دسترس نیست. پژوهش‌های مختلف نشان داده است که یک ارتباط قوی بین تحمل تنش‌های محیطی و افزایش در غلظت آنزیم‌های آنتی‌اکسیدانی در گیاهان وجود دارد (Altaf et al., 2022). برای خنثی نمودن اثرات سمی و مخرب ROS، سیستم دفاعی آنزیمی شامل آنزیم‌هایی سوپراکسید دیسموتاز (SOD) و کاتالاز (CAT) فعال می‌شوند (Zamani et al., 2020). در تنش شوری ۵۰۰ میلی‌مولار غلظت



آنزیم‌های آنتی‌اکسیدانی در شرایط تنش زیاد شد و از این رو، باعث افزایش مقاومت به تنش‌های اکسیداتیو گردید که با نتایج پژوهش‌های Zhou و همکاران (۲۰۱۸) مطابقت نشان داد ولی با کاربرد سیلیکون و نانوسیلیکون میزان فعالیت آنزیم‌های بررسی شده بیشتر شد.

جدول ۲- مقایسه میانگین تیمار تنش شوری، تیمار سیلیکون و نانوسیلیکون بر خصوصیات فیزیولوژیک و بیوشیمیایی *Rosa × damascena*

Table 2- Mean comparison of the physiological and biochemical properties of *Rosa × damascena* plants subjected to salinity, silicon and nanosilicon.

آسکوربات پراکسیداز Ascorbate peroxidase ($\mu\text{m. Fw}^{-1}$)	پراکسیداز Peroxidase ($\mu\text{m. Fw}^{-1}$)	کاتالاز Catalase ($\mu\text{m. Fw}^{-1}$)	تیمار Treatment
۱/۲۳±۰/۰۲f	۰/۰۱±۰/۰۴d	۰/۰۱±۰/۰۲c	شاهد Control
۱/۷۴±۰/۰۱bc	۰/۰۲±۰/۰۰۲۶۴d	۰/۰۳±۰/۰۱c	سیلیکون ۲۵۰ Silicon 250
۱/۸۱±۰/۰۳ab	۰/۰۲۴۱±۰/۰۰۱۱۳d	۰/۰۴±۰/۰۲c	نانوسیلیکون ۲۵۰ Nanosilicon 250
۱/۲۷±۰/۰۲f	۰/۰۳±۰/۰۲d	۰/۰۵±۰/۰۱c	شوری ۱۰۰ Salinity 100
۱/۴۶±۰/۰۲e	۰/۰۵±۰/۰۱d	۰/۰۶±۰/۰۲c	شوری ۲۰۰ Salinity 200
۱/۵۲±۰/۰۲e	۰/۰۹±۰/۰۰۱۴۵ab	۰/۰۷±۰/۰۱c	شوری ۵۰۰ Salinity 500
۱/۸۲±۰/۰۲a	۰/۰۶±۰/۰۸d	۰/۰۷±۰/۰۲c	شوری ۱۰۰ × سیلیکون ۲۵۰ Salinity 100 × silicon 250
۱/۵۳±۰/۰۲e	۰/۰۸±۰/۰۳bc	۰/۰۸±۰/۰۱c	شوری ۲۰۰ × سیلیکون ۲۵۰ Salinity 200 × silicon 250
۱/۷۲±۰/۰۳d	۰/۰۹±۰/۰۱ad	۰/۰۸±۰/۰۲c	شوری ۵۰۰ × سیلیکون ۲۵۰ Salinity 500 × silicon 250
۱/۶۶±۰/۰۱d	۱/۰۲±۰/۰۳b	۱/۲۰±۰/۱۱a	شوری ۱۰۰ × نانوسیلیکون ۲۵۰ Salinity 100 × nanosilicon 250
۱/۵۱±۰/۰۲e	۰/۰۸۷±۰/۰۲c	۰/۰۴۳±۰/۰۳۳b	شوری ۲۰۰ × نانوسیلیکون ۲۵۰ Salinity 200 × nanosilicon 250
۱/۸۱±۰/۰۱ab	۱/۰۴±۰/۰۱a	۰/۰۹±۰/۰۱c	شوری ۵۰۰ × نانوسیلیکون ۲۵۰ Salinity 500 × nanosilicon 250

حروف مشترک در هر ستون اختلاف معنی‌داری در سطح ۰/۰۵ با استفاده از آزمون دانکن ندارند.

In each column, mean with the same letters are not significantly different with Duncan's test (at 5% probability level).



در مجموع به نظر می‌رسد که کاهش تنش شوری توسط سازوکارهای غیرآنزیمی در گل محمدی کنترل می‌شود. زیرا کاربرد شوری و سیلیکون و نانوسیلیکون اثر هم‌افزایی در بالا بردن میزان فعالیت آنزیم‌های آنتی‌اکسیدانی ۱/۱۹٪ در تنش شوری ۱۰۰ و نانوسیلیکون ۲۵۰ میلی‌گرم در لیتر نسبت به شاهد داشت. حتی در شرایط عاری از تنش، محلول پاشی سیلیکون و نانو سیلیکون بر فعالیت آنزیمی داخل یاخته برگ افزود. در مجموع به نظر می‌رسد اثر تعدیلی‌کنندگی آنزیم‌های آنتی‌اکسیدانی در شرایط تنش شوری به اندازه تنش خشکی نیست و در تنش شوری سیستم دفاعی گیاه برای مقابله با شوری تا حد زیادی بر روش‌های غیرآنزیمی استوار است که نیاز به بررسی‌های بیشتر و گسترده‌تری دارد.

نتیجه‌گیری

در مجموع با توجه به نتایج به دست آمده در رابطه با برهمکنش شوری، سیلیکون و نانوسیلیکون بر صفات مورد اندازه‌گیری می‌توان نتیجه گرفت که سیلیکون و نانوسیلیکون در شرایط عدم شوری، تاثیری بر افزایش کیفیت و بهبود شاخص‌های فیزیولوژیک گل محمدی نداشت ولی در حضور غلظت‌های بالای نمک کاربرد سیلیکون توانست با جلوگیری از انباشت سدیم در برگ‌ها خسارت‌های وارد شده به غشای یاخته‌ای، رشد و کیفیت گل محمدی را افزایش دهد.

سپاسگزاری

نویسندگان از دانشگاه علوم کشاورزی و منابع طبیعی برای تامین منابع مالی این طرح (طرح شماره ۸۱-۴۵۶-۰۰) قدردانی می‌کنند.

منابع

- Khoshpeyk, S., Sadrabadi Haghghi, R., Ahmadian, A. (2023). The effect of irrigation water quality and application of silicon, nano silicon, and super absorbent polymer on some physiological responses of leaves and saffron yield. *Silicon*, 15(6), 2953-2961.
- Al-Aghabary, K., Zhu, Z., Shi, Q.H. (2005). Influence of silicon supply on chlorophyll content, chlorophyll fluorescence, and antioxidative enzyme activities in tomato plants under salt stress. *Journal of Plant Nutrition*, 27(12), 2101-15.
- Almutairi, Z.M. (2016). Effect of nano-silicon application on the expression of salt tolerance genes in germinating tomato (*Solanum lycopersicum* L.) seedlings under salt stress. *Plant Osmotic Journal*, 9, 106-14.
- Altaf, M. A., Shahid, R., Ren, M. X., Naz, S., Altaf, M. M., Khan, L. U., Ahmad, P. (2022). Melatonin improves drought stress tolerance of tomato by modulating plant growth, root architecture, photosynthesis, and antioxidant defense system. *Antioxidants*, 11(2), 309.
- Artyszak, A. (2018). Effect of silicon fertilization on crop yield quantity and quality—A literature review in Europe. *Plants*, 7(3), 54.
- Asgari, F., Diyanat, M. (2020). Effects of silicon on some morphological and physiological traits of rose (*Rosa chinensis* var. minima) plants grown under salinity stress. *Journal of Plant Nutrition*, DOI: 10.1080/01904167.2020.1845367.
- Assaha, D.V., Ueda, A., Saneoka, H., Al-Yahyai, R., Yaish, M.W. (2017). The role of Na⁺ and K⁺ transporters in salt stress adaptation in glycophytes. *Frontiers in Physiology*, 8, 509.
- Barakatain, L., Nikbakht, A., Etemadi, N., Khajeh Ali, J. (2013). Effect of source and method of silica application on some of the quantitative and physiological characteristics of *Gerbera jamesonii* L. *Journal of Soil and Plant Interactions-Isfahan University of Technology*. 4(1).



- Bates, L.S., Waldren, R.P., Teare, I. (1973). Rapid determination of free proline for water-stress studies. *Plant and Soil*, 39(1), 205-207.
- Beltrano, J., Ronco, M.G. (2008). Improved tolerance of wheat plants (*Triticum aestivum* L.) to drought stress and rewatering by the arbuscular mycorrhizal fungus *Glomus claroideum*: Effect on growth and cell membrane stability. *Brazilian Journal of Plant Physiology*, 20, 29-37.
- Chen, Z., Wang, Z., Yang, Y., Li, M. and Xu, B. (2018). Abscisic acid and brassinolide combined application synergistically enhances drought tolerance and photosynthesis of tall fescue under water stress. *Scientia Horticulturae*, 228, 1-9.
- Chu, X.T., Fu, J.J., Sun, Y.F., Xu, Y.M., Miao, Y.J., Xu, Y.F. and Hu, T.M. (2016). Effect of arbuscular mycorrhizal fungi inoculation on cold stress-induced oxidative damage in leaves of *Elymus nutans* Griseb. *South African Journal of Botany*, 104, 21-29.
- Datta, S.K. (2021). Breeding of ornamentals: success and technological status. *The Nucleus*, 65, 1-22.
- Del Río, L.A., López-Huertas, E. (2016). ROS generation in peroxisomes and its role in cell signaling. *Plant and Cell Physiology*, 57(7), 1364-1376.
- El-Esawi, M.A., Alayafi, A.A. (2019). Overexpression of StDREB2 transcription factor enhances drought stress tolerance in cotton (*Gossypium barbadense* L.). *Genes*, 10(2), 142.
- Epstein, E., Bloom, A. (2005). Mineral Nutrition of Plants: Principles and Perspectives. Sinauer Associates. Inc. Sunderland, Mass.
- Ghaffari, H., Tadayon, M.R., Nadeem, M., Cheema, M., Razmjoo, J. (2019). Proline-mediated changes in antioxidant enzymatic activities and the physiology of sugar beet under drought stress. *Acta Physiologiae Plantarum*, 41(2), 1-13.
- Gudin, S. (2000) Rose genetics and breeding. *Plant Breeding Review*, 17, 159-189. <https://doi.org/10.1002/9780470650134.ch3>.
- Hajihashemi, A., Kazemi, S. (2022) .The potential of foliar application of nanochitosan-encapsulated nano-silicon donor in amelioration the adverse effect of salinity in the wheat plant. *BMC Plant Biology*, 22, 148.
- Hong, L.T.M., Trinh, T.C., Bui, V.T., Tran, H.T. (2021). Roles of plant growth regulators on flowering of rose (*Rosa hybrida* L.'Red Rose'), IOP Conference Series: Earth and Environmental Science. IOP Publishing, p. 012039.
- Isayenkov, S.V., Maathuis, F.J. (2019). Plant salinity stress: many unanswered questions remain. *Frontiers in Plant Science*. 10, 80.
- Jiang, Y., Duan, X., Joyce, D., Zhang, Z., Li, J. (2004). Advances in understanding of enzymatic browning in harvested litchi fruit. *Food Chemistry*, 88(3), 443-446.
- Joseph, E., Mohanan, K., Radhakrishnan, V. (2015). Effect of salinity variation on the quantity of antioxidant enzymes in some rice cultivars of North Kerala, India *Universe Journal of Agricultural Research*, 3, 89-105.
- Kalteh, M., Alipour, Z.T., Ashraf, S., Aliabadi, M.M., Nosratabadi, A.F. (2014). Effect of silica nanoparticles on basil (*Ocimum basilicum*) under salinity stress. *Journal of Chemical Health Risks*. 4, 49-55.
- Kerchev, P., van der Meer, T., Sujeeth, N., Verlee, A., Stevens, C.V., Van Breusegem, F., Gechev, T. (2020). Molecular priming as an approach to induce tolerance against abiotic and oxidative stresses in crop plants. *Biotechnology Advances*, 40, 107503. <https://doi.org/https://doi.org/10.1016/j.biotechadv.2019.107503>.
- Kiani, M., Zamani, Z., Khalighi, A., Fatahi, R., Byrne, D.H. (2010). Microsatellite analysis of Iranian Damask rose (*Rosa damascena* Mill.) germplasm. *Plant Breeding* 129(5), 551-557. <https://doi.org/10.1111/j.1439-0523.2009.01708>.
- Li, X., Wan, S., Kang, Y., Chen, X., & Chu, L. (2016). Chinese rose (*Rosa chinensis*) growth and ion accumulation under irrigation with waters of different salt contents. *Agricultural Water Management*, 163, 180-189.
- Liang, Y., Sun, W., Zhu, Y. G., & Christie, P. (2007). Mechanisms of silicon-mediated alleviation of abiotic stresses in higher plants: a review. *Environmental Pollution*, 147(2), 422-428.
- Liu, D., Dong, S., Miao, H., Liu, X., Li, C., Han, J., Gu, X. (2022). A Large-Scale Genomic Association Analysis



- Identifies the Candidate Genes Regulating Salt Tolerance in Cucumber (*Cucumis sativus* L.) Seedlings. *International Journal of Molecular Sciences*, 23(15), 8260.
- Lutts, S., Kinet, J. M. and Bouharmont, J. (1995). Changes in plant response to NaCl during development of rice (*Oryza sativa* L.) varieties differing in salinity resistance. *Journal of Experimental Botany*, 132(46), 1843-1852.
- Lv, X., Chen, S., Wang, Y., 2019. Advances in understanding the physiological and molecular responses of sugar beet to salt stress. *Frontiers in Plant Science*, 10, 1431
- Manaa, A., Mimouni, H., Terras, A., Chebil, F., Wasti, S., Gharbi, E., Ben Ahmed, H. (2014). Superoxide dismutase isozyme activity and antioxidant responses of hydroponically cultured *Lepidium sativum* L. to NaCl stress. *Journal of Plant Interactions*, 9(1), 440-449.
- Matraszek, R., Hawrylak-Nowak, B., Chwil, M. (2015). Protein hydrolysate as a component of salinized soil in the cultivation of *Ageratum houstonianum* Mill. (Asteraceae). *Acta Agrobotanica*, 68(3). <https://doi.org/10.5586/aa.2015.028>.
- Munns, R. (2002). Comparative physiology of salt and water stress. *Plant, Cell and Environment*, 25(2), 23-9.250.
- Nađpal, J.D., Lesjak, M.M., Šibul, F.S., Anačkov, G.T., Četojević-Simin, D.D., Mimica-Dukić, N.M., Beara, I.N., (2016). Comparative study of biological activities and phytochemical composition of two rose hips and their preserves: *Rosa canina* L. and *Rosa arvensis* Huds. *Food Chemistry*, 192, 907-914.
- Nakano, Y., Asada, K. (1981). Hydrogen peroxide is scavenged by ascorbate-specific peroxidase in spinach chloroplasts. *Plant and Cell Physiology*, 22(5), 867-880.
- Oki, L.R., Lieth, J.H. (2004). Effect of changes in substrate salinity on the elongation of *Rosa hybrida* L. 'Kardinal' stems. *Scientia Horticulturae*, 101(1-2), 103-119.
- Pattanagul, W. (2011). Exogenous Abscisic Acid Enhances Sugar Accumulation in Rice. *Asian Journal of Plant Science*, 10(3), 212-219.
- Press, B. (2018). Mabberley's plant-book: A portable dictionary of plants, their classification and uses. *Journal of the Botanical Research Institute of Texas*, 12(2), 578-578.
- Ramajulu, S. (2001). Alliviation of NaCl salinity stress by calcium is partly related to the increased proline accumulation in mulberry (*Morus alba* L.) callus. *Journal of Plant Biology*, 28, 203-206.
- Reis, M., Figueiredo, J.R.M., Paiva, R., da Silva, D.P., de Faria, C.V.N., Rouhana, L. (2016). Salinity in rose production. *Ornamental Horticulture*, 22(2), 228-234.
- Saleem, M. H., Kamran, M., Zhou, Y., Parveen, A., Rehman, M., Ahmar, S., Liu, L. (2020). Appraising growth, oxidative stress and copper phytoextraction potential of flax (*Linum usitatissimum* L.) grown in soil differentially spiked with copper. *Journal of Environmental Management*, 257, 109994.
- Salin, F., Squier, J., Piche, M. (1991). Mode locking of Ti: Al₂O₃ lasers and self-focusing: a Gaussian approximation. *Optics Letters*, 16(21), 1674-1676.
- Savari, M., Shokati Amghani, M. (2021). Factors influencing farmers' adaptation strategies in confronting the drought in Iran. *Environment, Development and Sustainability*, 23(4), 4949-4972
- Sharif, H., Namva A., 2016. Phytoprotectants and abiotic stresses. Urmia University Publication. 341p. [In Persian].
- Zamani, Z., Amiri, H., & Ismaili, A. (2020). Improving drought stress tolerance in fenugreek (*Trigonella foenum-graecum*) by exogenous melatonin. *Plant Biosystems-An International Journal Dealing with all Aspects of Plant Biology*, 154(5), 643-655.
- Zhou, Y. B., Liu, C., Tang, D. Y., Yan, L., Wang, D., Yang, Y. Z., Liu, X. M. (2018). The receptor-like cytoplasmic kinase STRK1 phosphorylates and activates CatC, thereby regulating H₂O₂ homeostasis and improving salt tolerance in rice. *The Plant Cell*, 30(5), 1100-1118.



Biochemical changes in the leaves of *Rosa damascena* in response to different forms of silicon under salinity stress conditions

Mostafa K. Sarmast*, Mina Khorami Moghadam, Sara Khorasaninejad, Azim Ghasemnejad

Department of Horticultural Science and Green Space, Gorgan University of Agricultural Sciences and Natural Resources, Gorgan

✉ khoshhal.sarmast@gmail.com; mkhsarmast@gau.ac.ir

✉ Received: 25/6/2023, Revised: 29/8/2023, Accepted: 29/8/2023

Abstract

It is very important to provide effective solutions to control the salinity stress in ornamental plants due to the increase of unpredictable climate changes and saline soil in different parts of the earth. Therefore, the effects of salinity (combination of sodium chloride and calcium chloride 100, 200, and 500 mM) and silicon (250 mg L⁻¹ nanosilicon and 250 mg L⁻¹ potassium silicate) were investigated on *Rosa damascena* plants under controlled glass greenhouse condition as a completely randomized design. Some leaf physiological responses (ion leakage, relative water content), proline level and activity of antioxidant enzymes such as catalase (CAT), peroxidase (POX) and ascorbate peroxidase (APX) were evaluated. The results showed that nanosilicon and potassium silicate prevented ion leakage caused by salinity compared to the control. Additionally, the relative water content was maintained to a large extent in response to silicon and nanosilicon. Silicon and nanosilicon also increased the proline content in the leaf, but this effect was more significant under salinity stress conditions, indicating a close relationship between salinity stress and silicon. In general, the resistance to salinity stress in *Rosa × damascena* appeared to be controlled by non-enzymatic mechanisms, as the application of silicon and nanosilicon under saline conditions had a synergistic effect in increasing the activity of the antioxidant enzymes catalase, peroxidase, and ascorbate peroxidase.

Keywords: Antioxidant enzymes, salt, silicon, nano silicon.